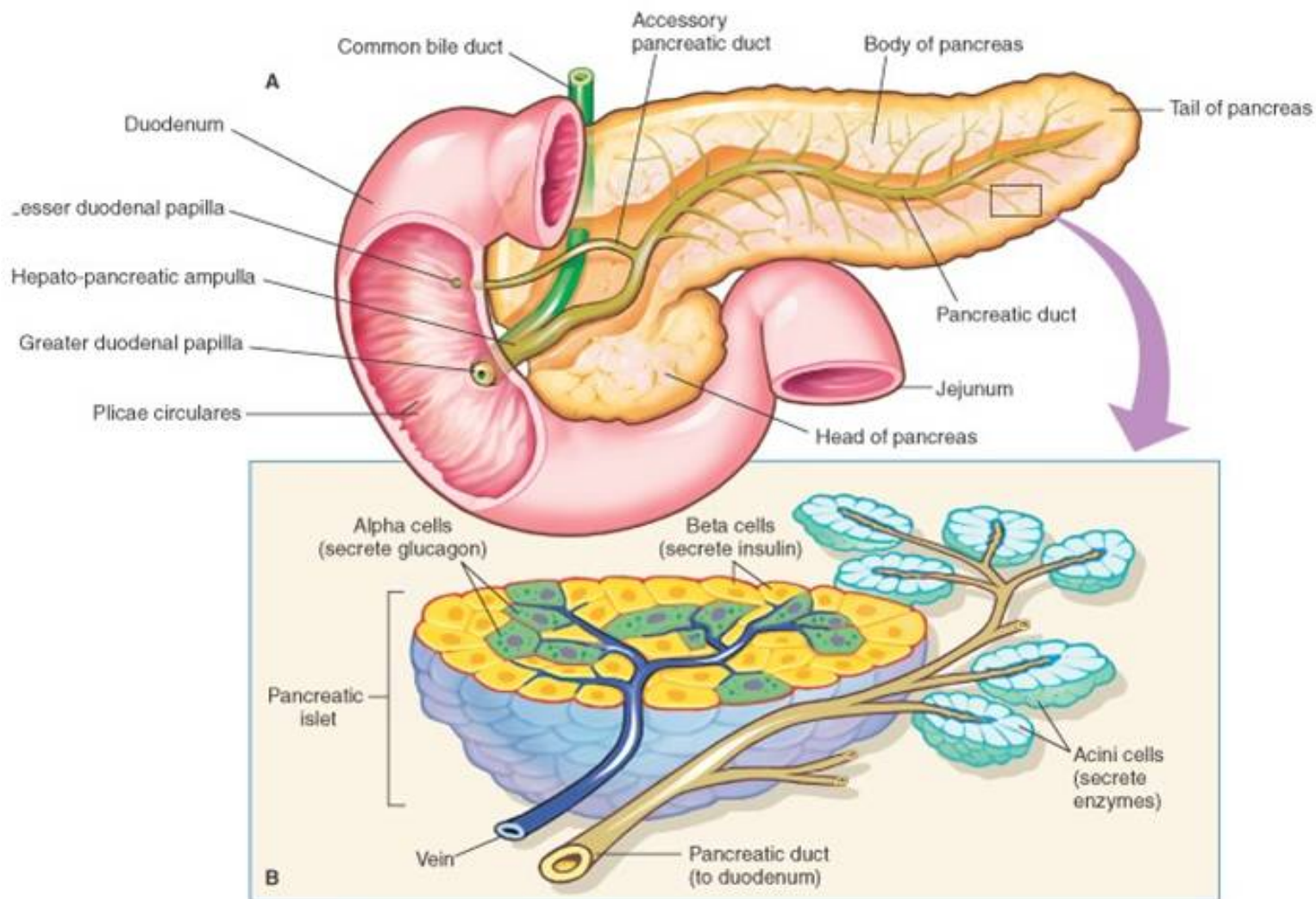


# PANCREAS



# REGOLAZIONE DEL GLUCOSIO

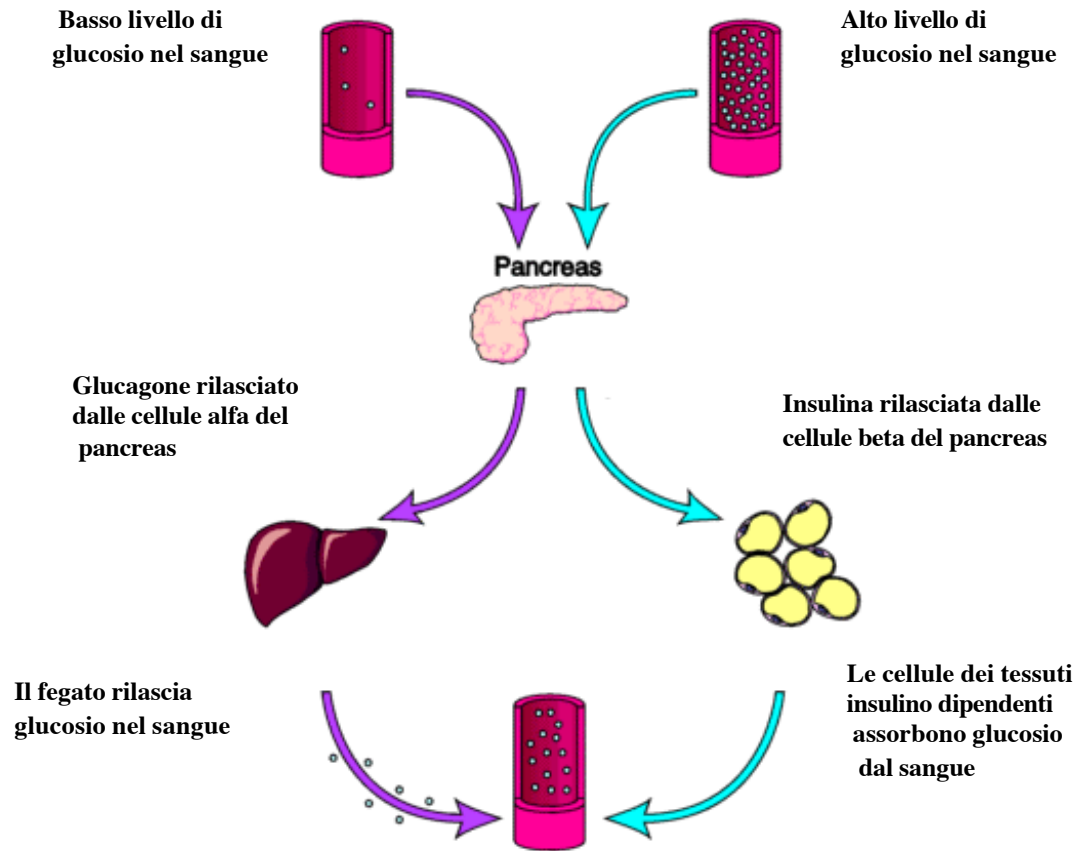


Figura 4: il controllo del glucosio

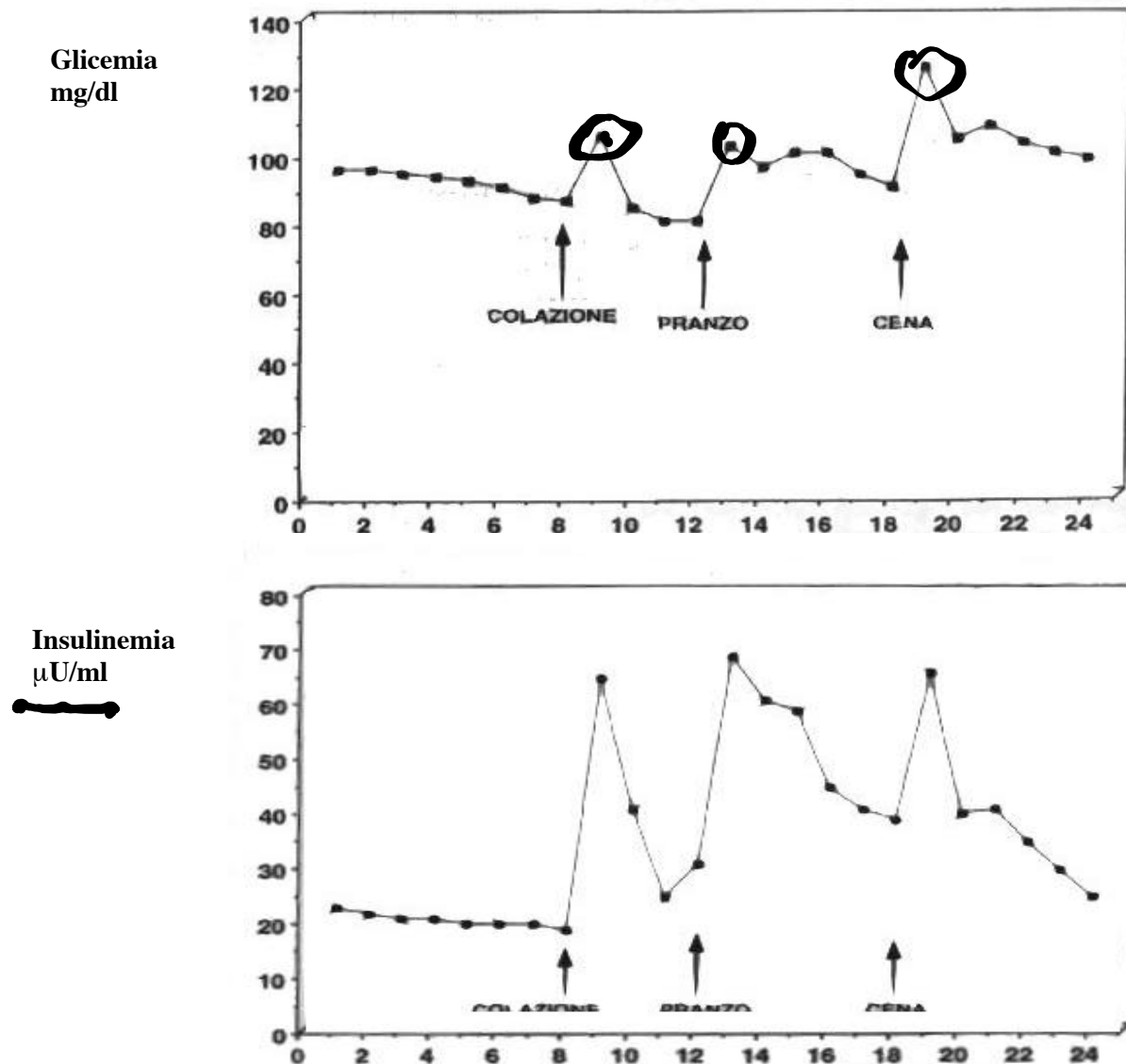


Figura 6: escursioni giornaliere di glicemia e insulinemia

# SECREZIONE INSULINICA

$t^*$

$$S(t^*) = S_0$$

Secrezione di insulina  
normalizzata

$$I(t^*) \geq I_0$$

Concentrazione di  
glucosio nell'arteria  
Pancreatica [mg/dl]

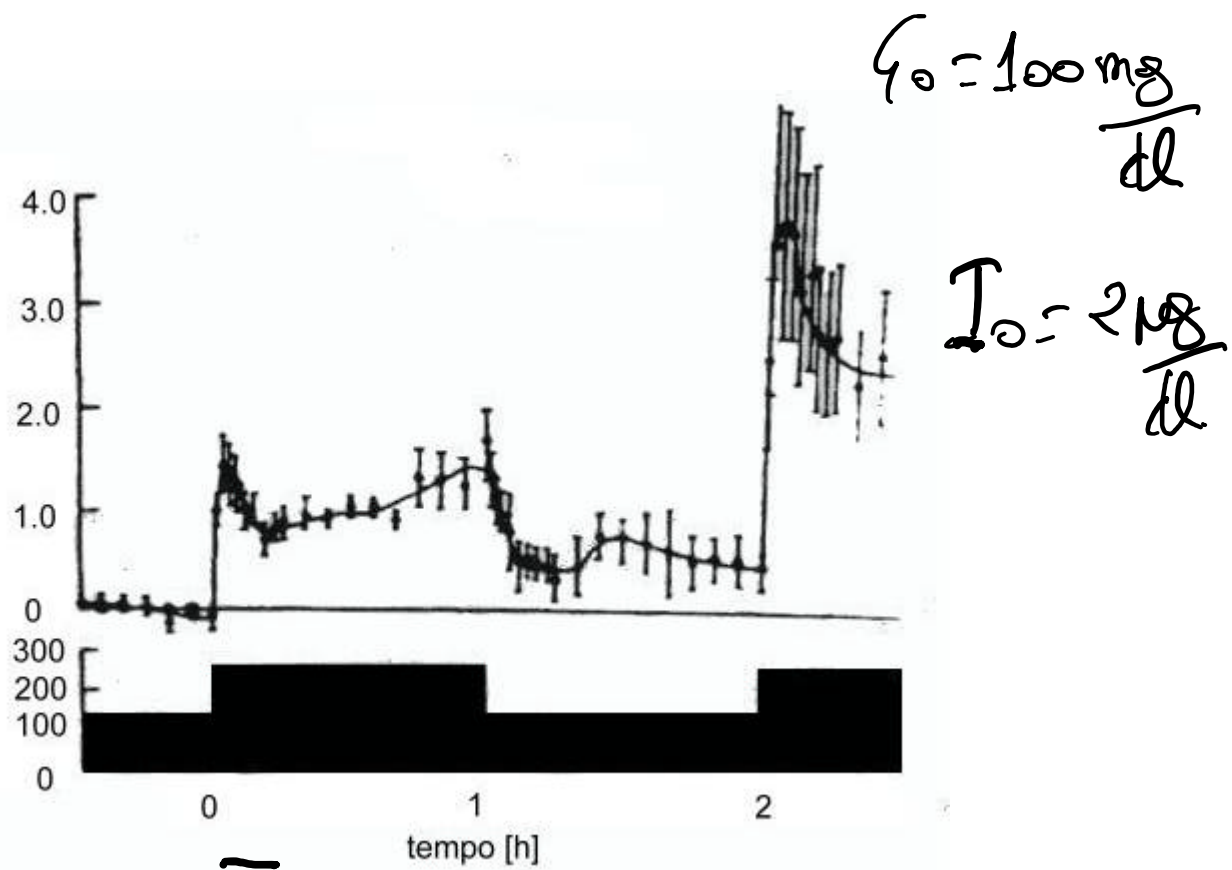
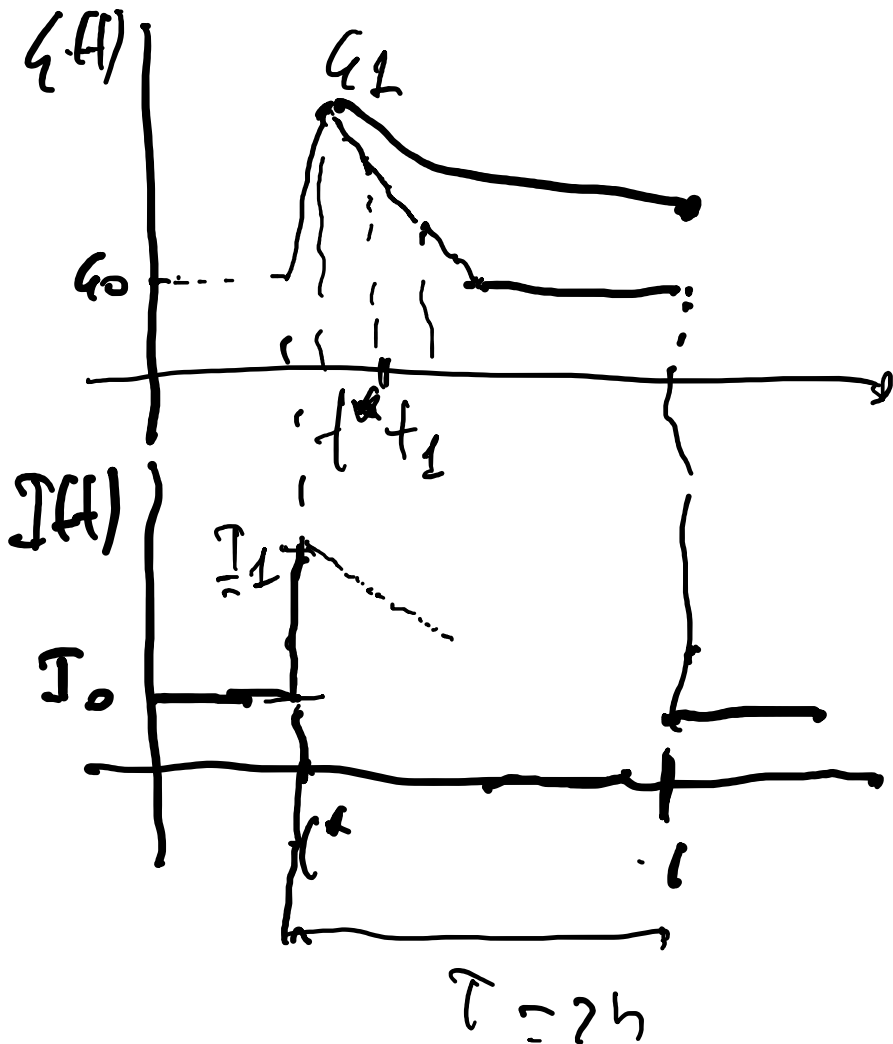


Figura 7. Risposta delle beta cellule a uno stimolo a gradini di glucosio

**TABELLA 1.**  
 Criteri per la diagnosi di diabete mellito indicati dall'ADA  
 nelle raccomandazioni 2009

Criterio	Note
Glicemia a digiuno ( <i>fasting plasma glucose</i> , FPG) $\geq 126$ mg/dl (7,0 mmol/l)	Il digiuno è definito dall'assenza di assunzione di cibo nelle precedenti 8 ore
Sintomi di iperglicemia e riscontro casuale di valori di glucosio plasmatico $\geq 200$ mg/dl (11,1 mmol/l)	La casualità corrisponde al dosaggio in qualunque momento della giornata senza tenere in considerazione il tempo trascorso dal pasto I sintomi classici di iperglicemia sono poliuria, polidipsia e calo ponderale non altrimenti spiegato
Valori di glucosio plasmatico $\geq 200$ mg/dl (11,1 mmol/l) a 2 ore dalla prova da carico (test di tolleranza al glucosio orale [ <i>oral glucose tolerance test</i> , OGTT])	In base alle indicazioni OMS, il test deve essere eseguito con un carico di glucosio contenente un equivalente di 75 g di glucosio anidro dissolti in acqua

Modificata da American Diabetes Association Practical Recommendations. *Diabetes Care* 2009;32(Suppl 1):S6-S12.



$$E(f^*) \approx G_1$$

$$E(f^e + f_1) = G_1 - \frac{1}{q} G_1$$

$$f_1' - f^e = 15 \text{ min}$$

$$E(\hat{f}) \approx G_0$$

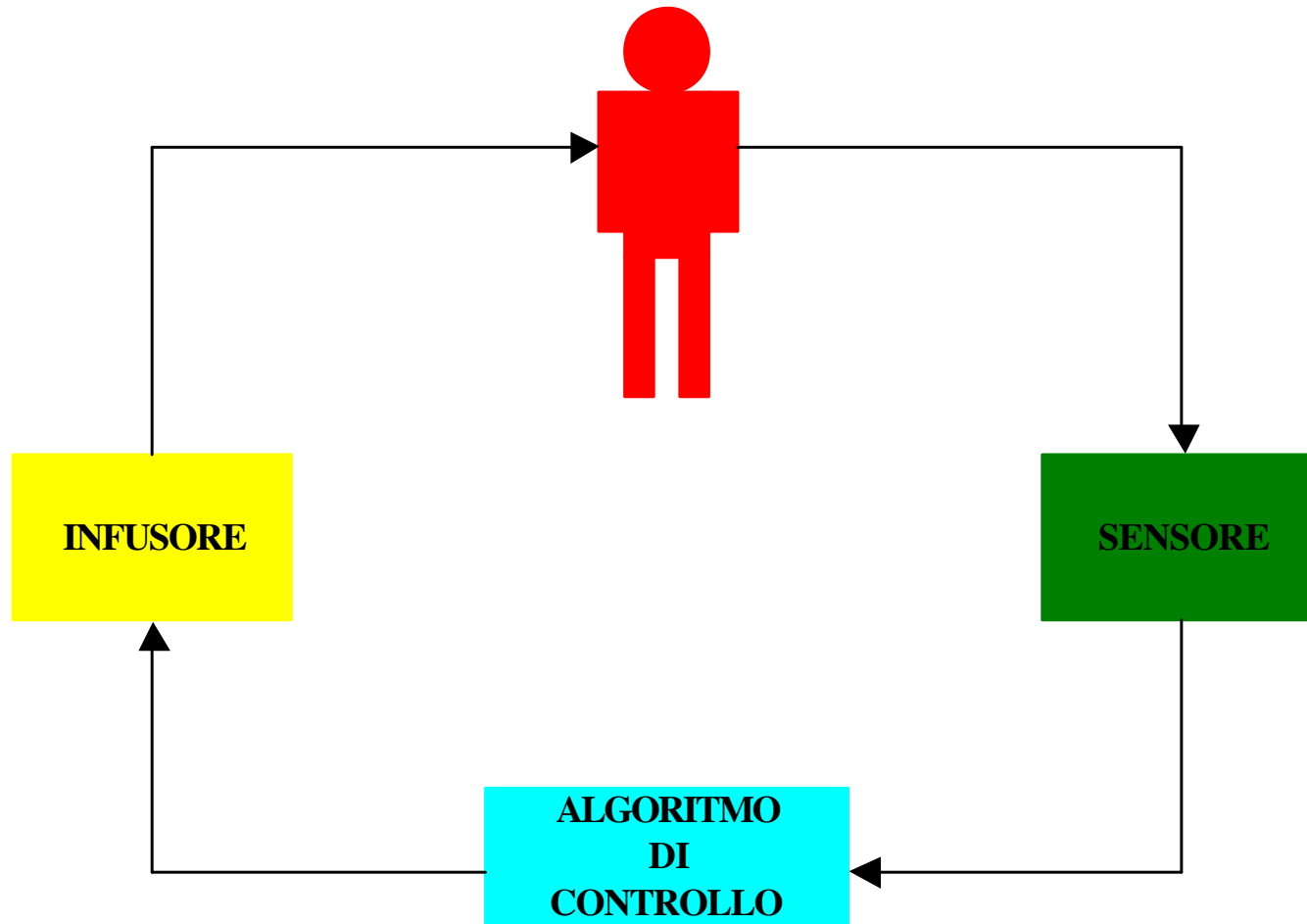
$$I(f^*) : I_1 =$$

$$I(f^e + f_1) : I_1 - \frac{1}{q} I_1$$

$$\Delta I = 2 \mu\text{s} \quad \Delta I_{(4h)} = 8 \mu\text{s}$$

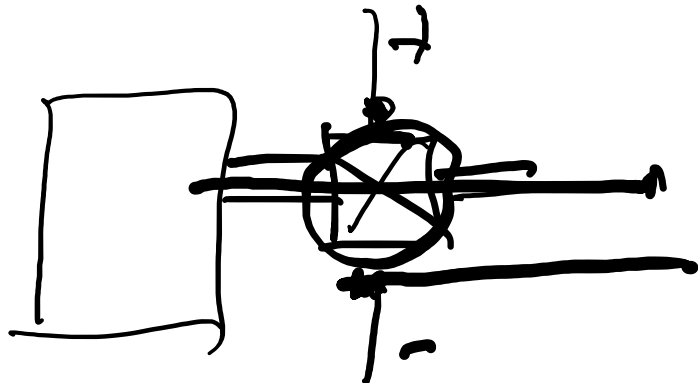
$$\Delta I [2h] = 4 \mu\text{s}$$

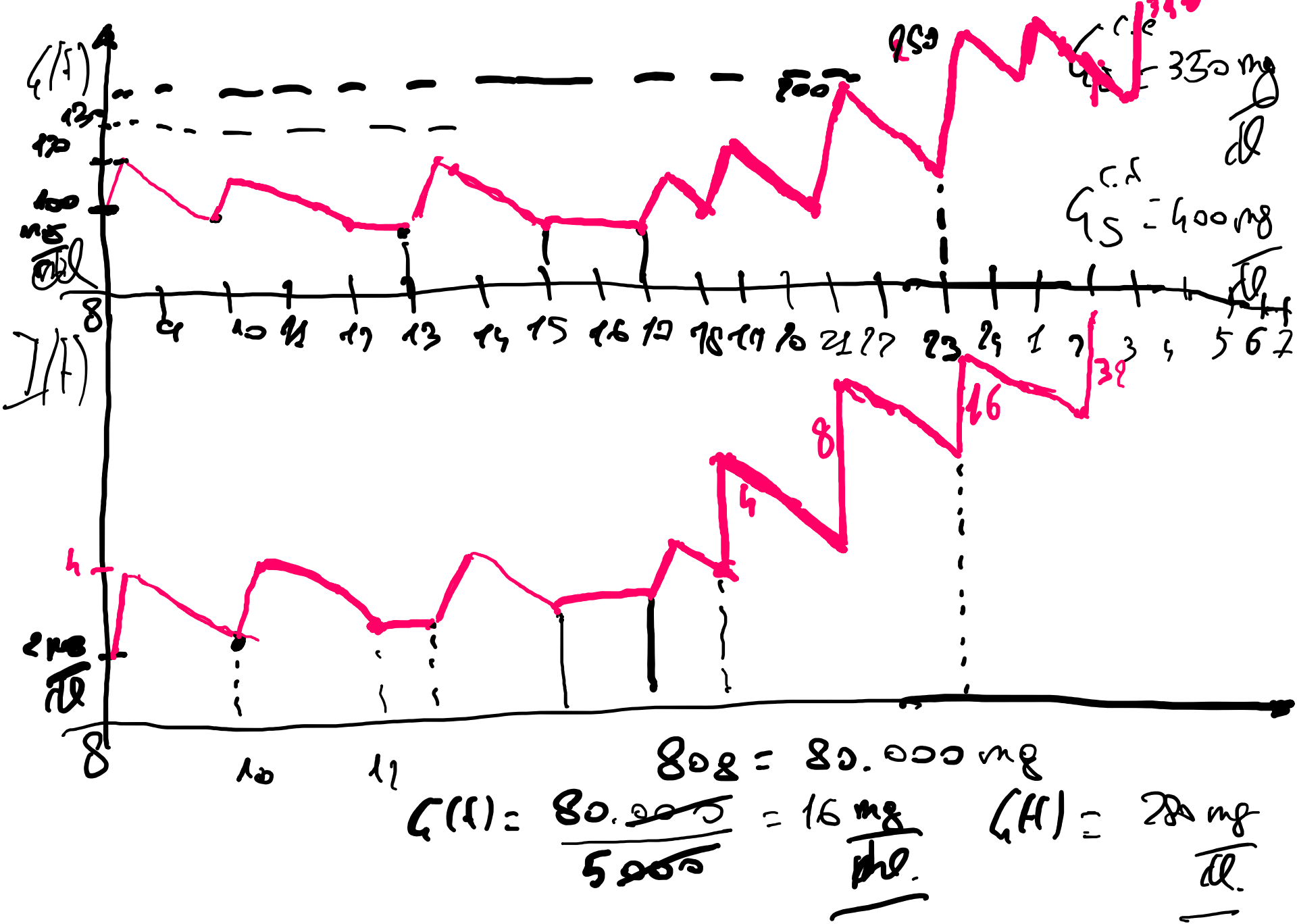
# PANCREAS ARTIFICIALE



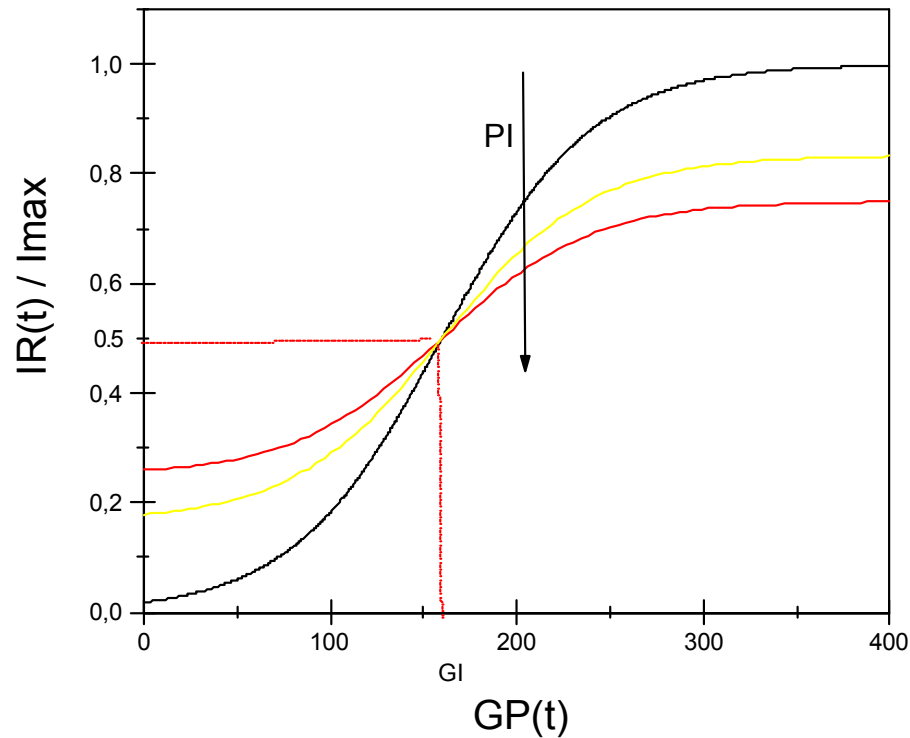
**Figura 9:** schema di principio di un pancreas artificiale

$$G(f) > 100 \frac{mg}{Jl} \rightarrow I(f)$$





# Algoritmo di controllo del pancreas artificiale di Albisser



$$IR(t) = \frac{I_{max}}{2} \left[ 1 + \tanh \frac{GP(t) - GI}{5} \right]$$
$$GI = \sum_{i=1}^5 \frac{\zeta(t-t_i)}{5}$$
$$DR(t) = \frac{D_{max}}{2} \left[ 1 + \tanh \frac{GP(t) - PD}{5} \right]$$

$I_{max} = 100\text{U}$   
 $\approx 3.5 \frac{\text{mg}}{\text{ml}} \approx 3500 \text{ pmol}$

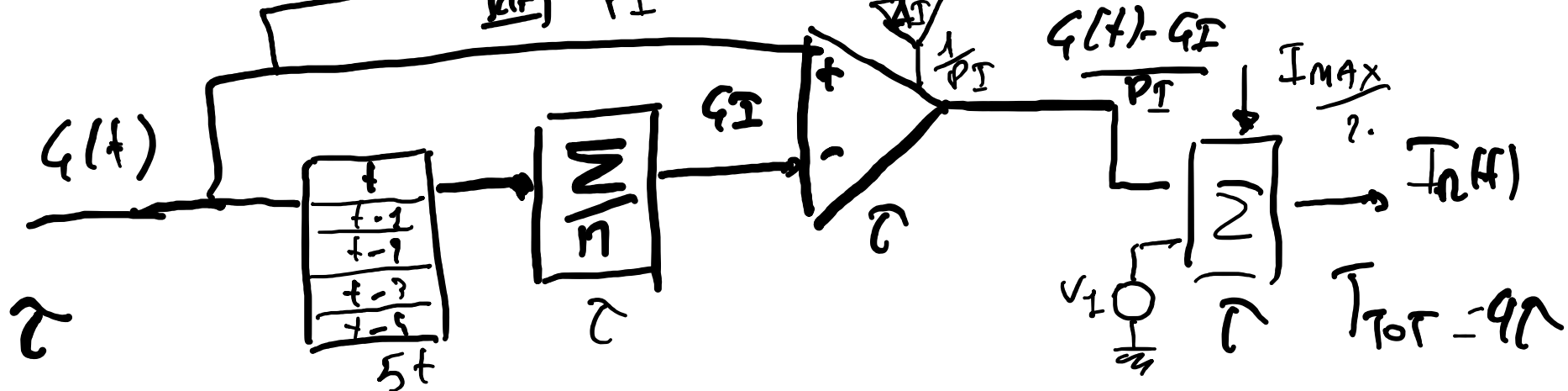
Figura 19: caratteristica di controllo del pancreas di Albisser

$$J_n(t) = \frac{I_{\max}}{2} \left( 1 + \tanh \frac{G(t) - G_I}{P_I} \right)$$

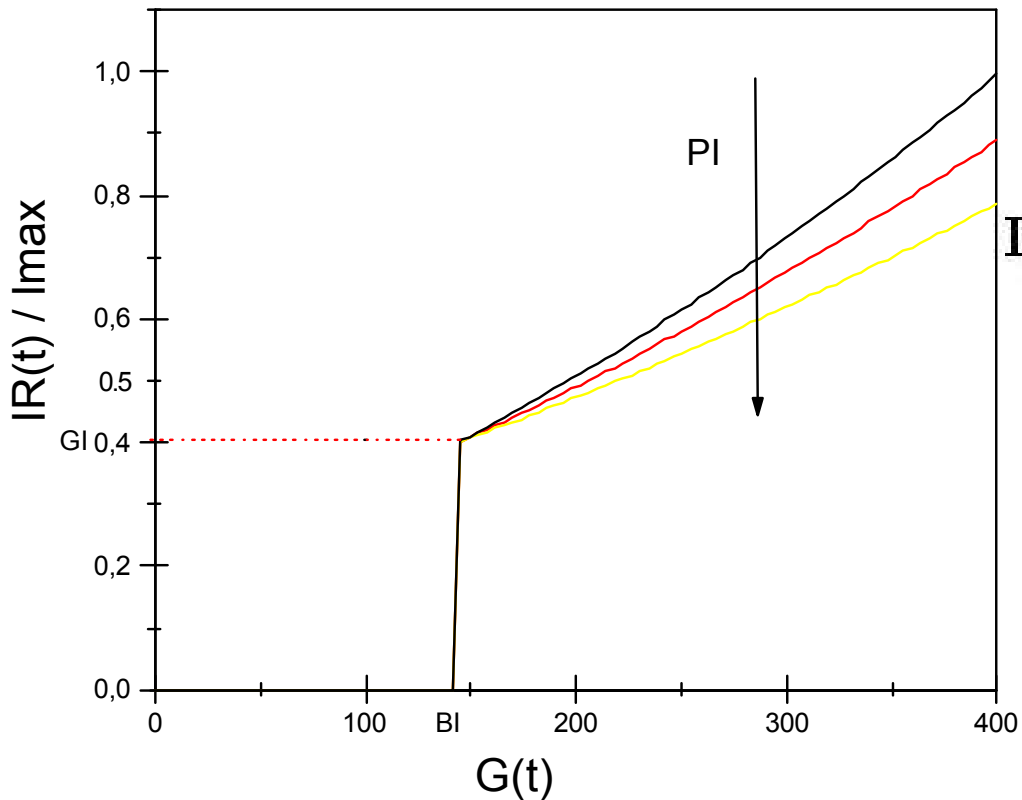
$$\tanh x: \frac{e^x - e^{-x}}{e^x + e^{-x}} = \frac{1+x - (1-x)}{1+x + 1-x} = \frac{2x}{2} = x$$

L'uscita è una serie di tensioni non superiori a 3V.

$$J_n(t) \geq J_{\max} \left[ 1 + \frac{G(t) - G_I}{P_I} \right]$$



# Algoritmo di Clemens: il Biostator



Controllo statico

$$IR(t) = RJ \left[ 1 + \frac{G(t) - BI}{QI} \right]^2$$

Controllo dinamico

$$IR(t) = K \frac{dG}{dt}$$

$$BI \leq 100 \frac{mA}{V}$$

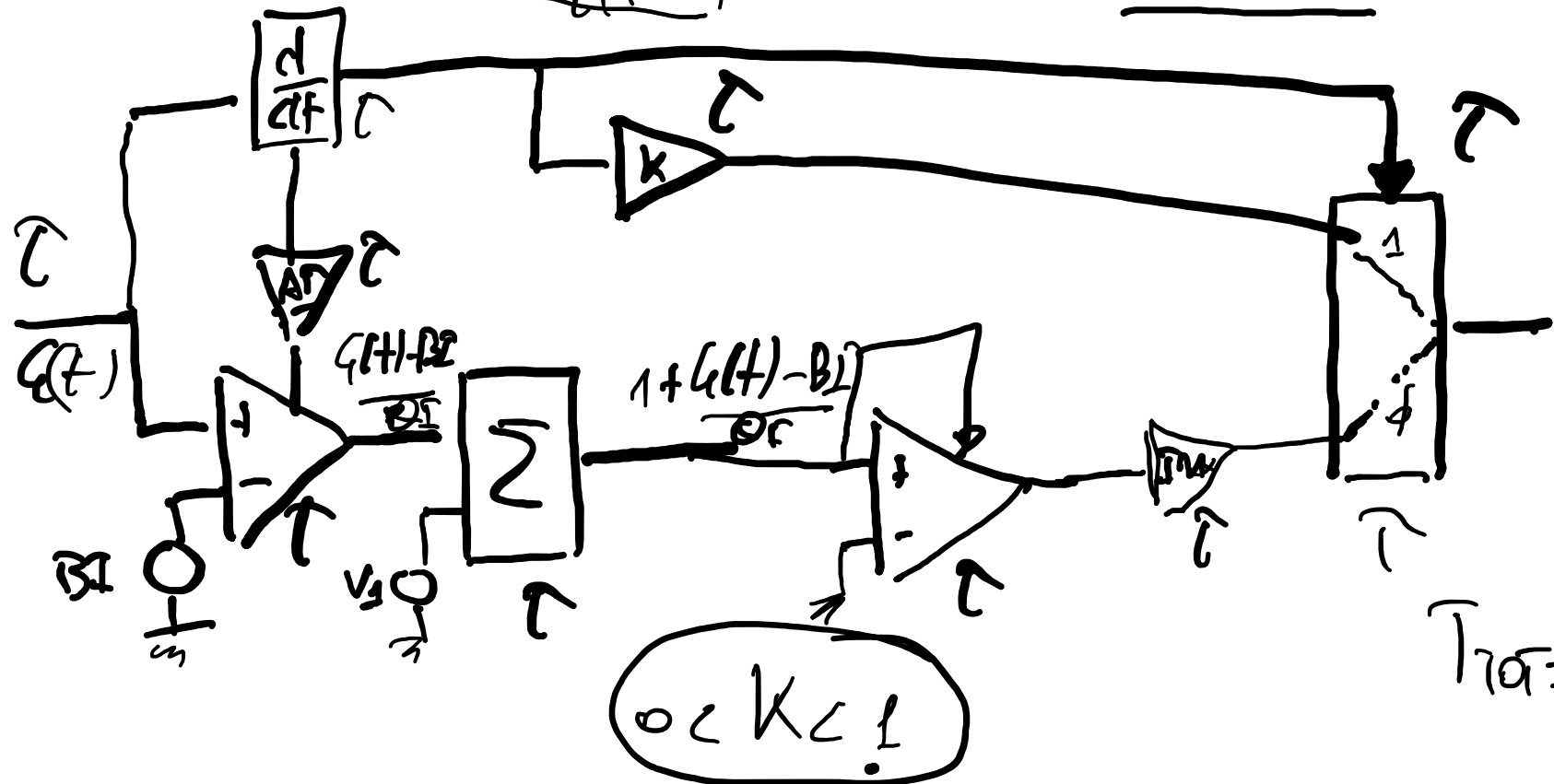
Figura 20: Caratteristica statica del Biostator

Clewens

st. 3  $I_n(t) = I_{\max} \left[ 1 + \frac{Q(t) - BI}{Q_f} \right] < K_S = 7 \text{ A}$

dim 2  $I_{RH}(t) = k_d \frac{dQ}{dt} \quad K_D = 3 \text{ A}$

$K > 1$



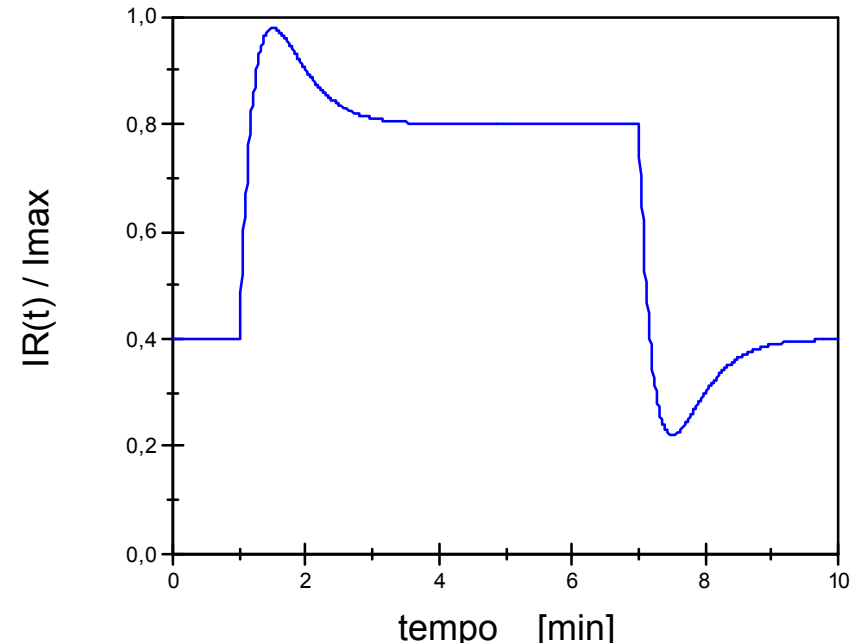
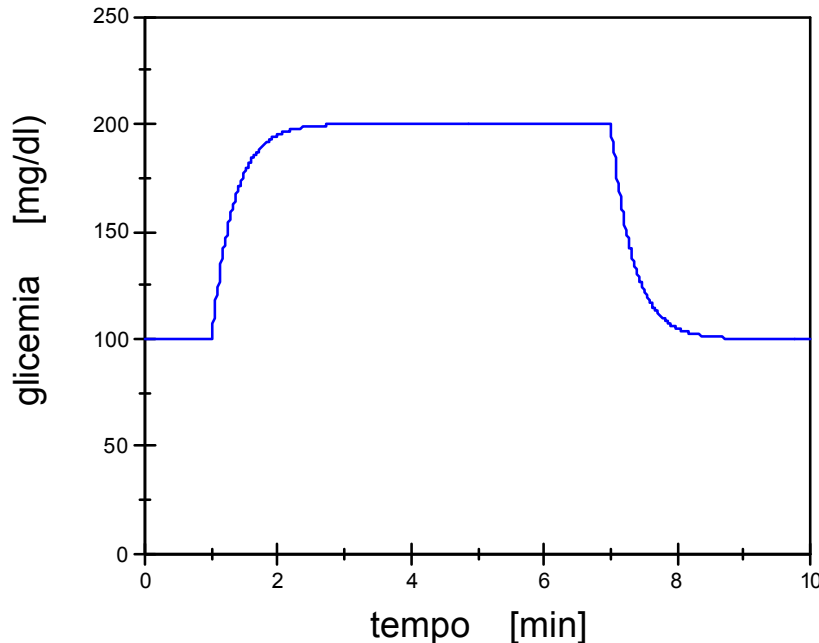
$T_{705} = 8 \text{ s}$

# Algoritmo di controllo di Fisher

$B_f = GL_{base}$

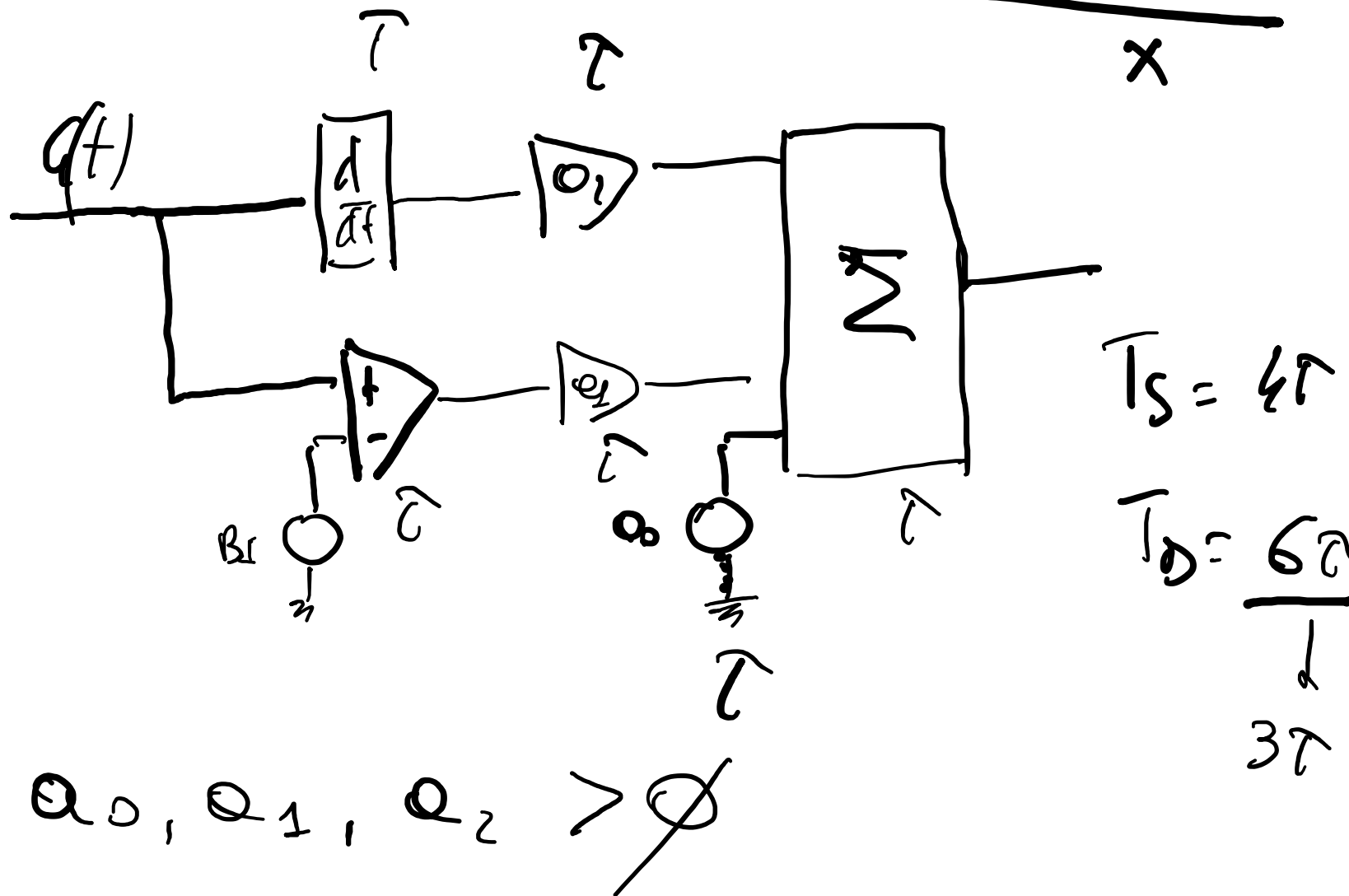
$$IR(t) = a_0 + a_1(G - BI) + a_2(dG/dt)$$

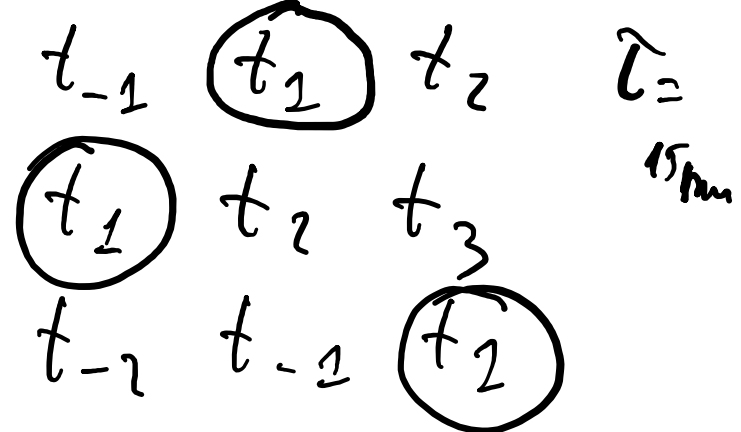
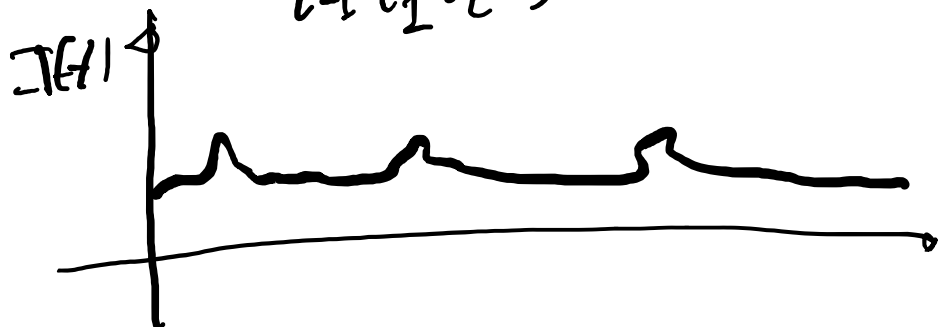
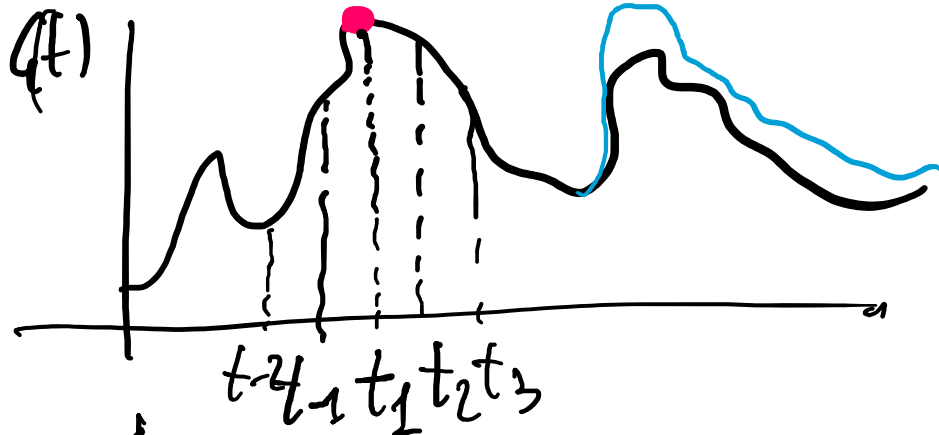
■



**Figura 21:** risposta dell'algoritmo di Fisher a uno stimolo

$$I(t) = \underline{Q_0 + Q_1 (Q(t) - BI) + Q_2 \frac{dQ}{dt}}$$





$$I(t_1) = \alpha_0 + \alpha_1 [G(t_1) + \beta I]_{t_0},$$

$$\frac{G(t_1) - G(t_{1-\tau})}{\tau}$$

$$I(t_2) = \alpha_0 + \alpha_1 [G(t_2) - \beta I] + \alpha_2 \frac{G(t_2) - G(t_1)}{\tau}$$

$$I(t_3) = \alpha_0 + \alpha_1 [G(t_3) - \beta I] + \alpha_2 \frac{G(t_3) - G(t_2)}{\tau}$$

$$J(t_1) = I(t_1) - \frac{1}{\tau} J(t_1)$$

$$I(t_1) = 2 + 2 = 4 \text{ kg/m.}$$

$$J(t_3) = J(t_2) - \frac{1}{\tau} J(t_2)$$

# Metodi adattivi

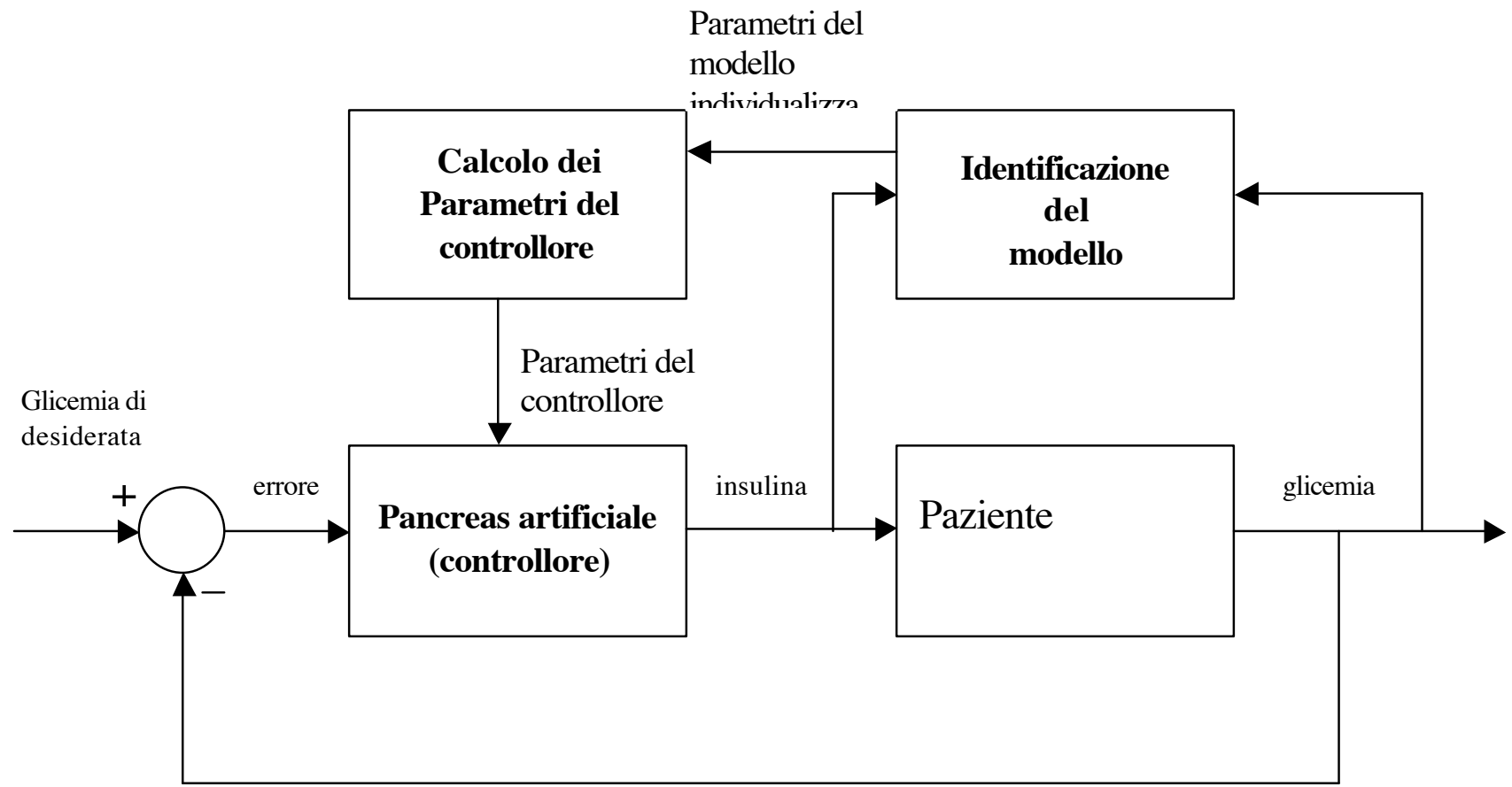


Figura 21:schema di un controllo adattivo self-tuning

# Pompa impiantabile di insulina

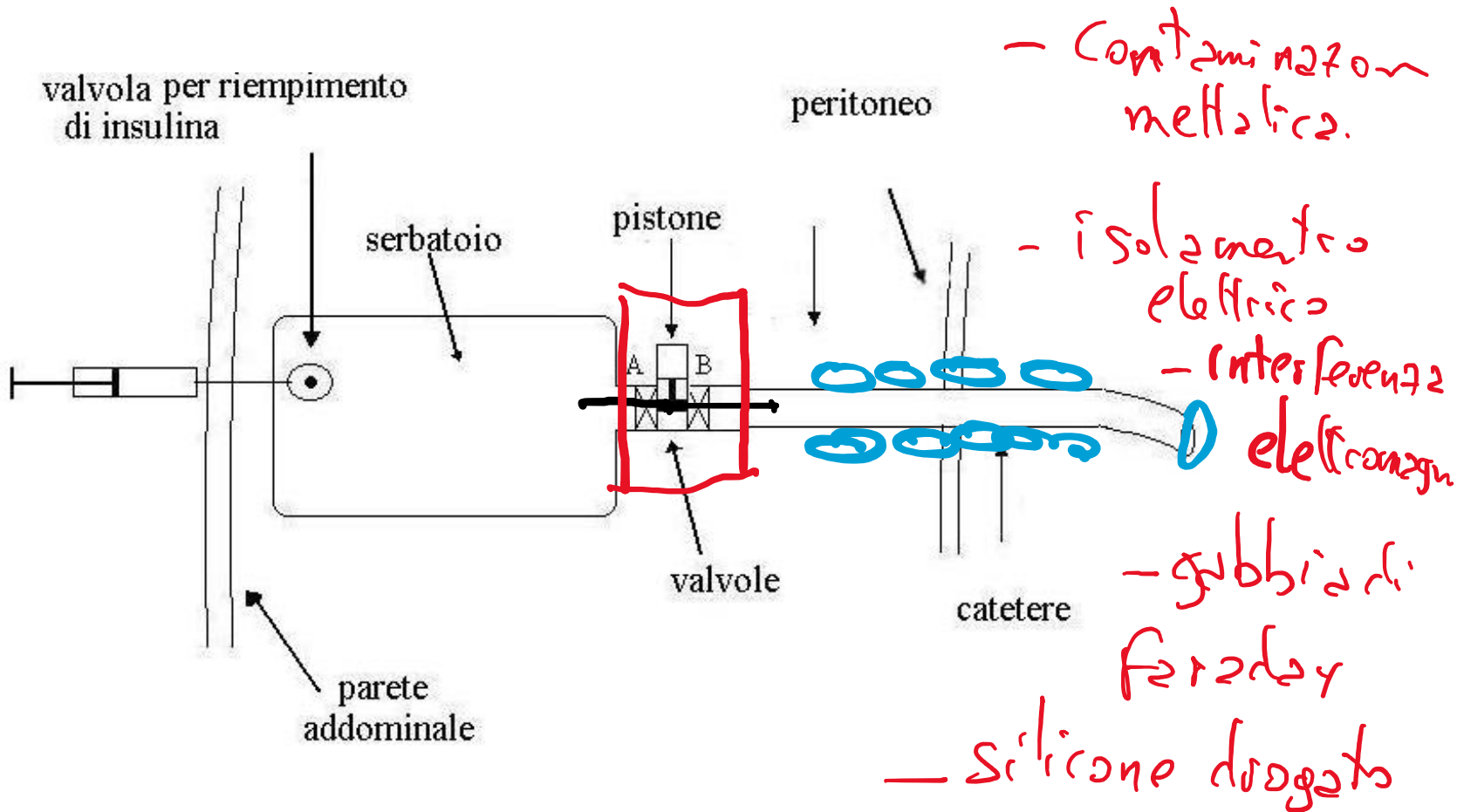


Figura 22: schema di una pompa impiantabile per insulina